



# Tema 3

*Iluminación directa*

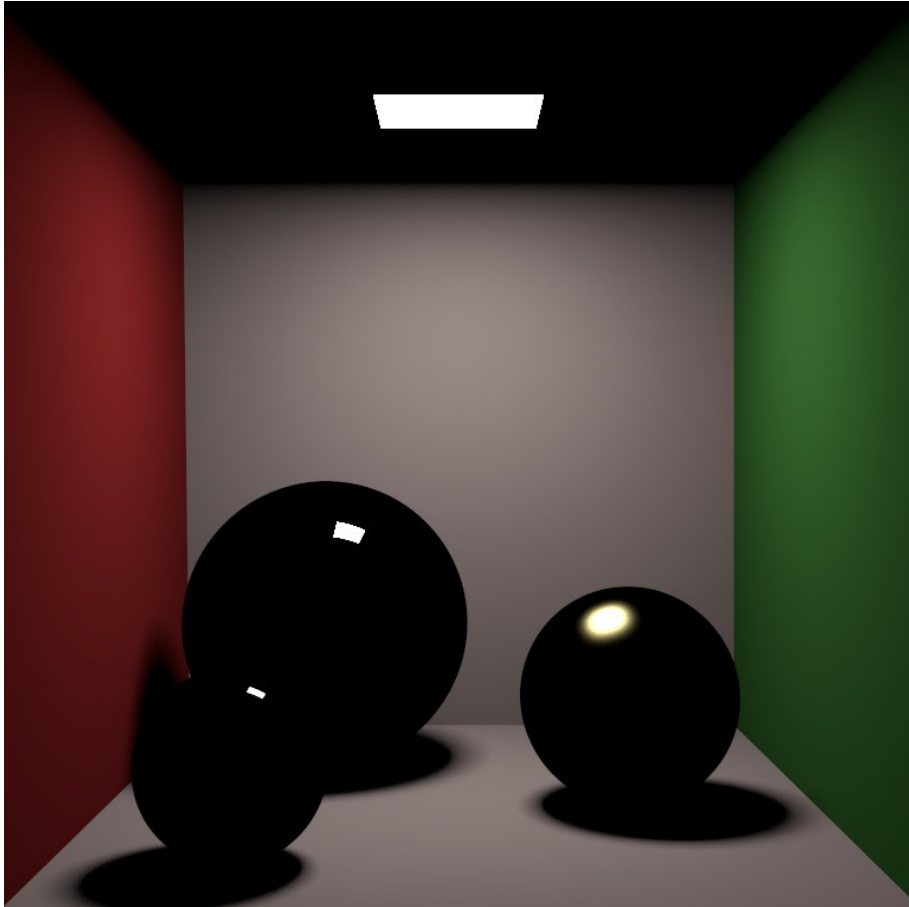
# Iluminación directa

- ¿Qué es?
  - Es la iluminación que se recibe *directamente* desde una fuente luminosa
- Los puntos en la escena que no tienen *visibilidad* con una fuente luminosa no son iluminados y por lo tanto estarán completamente oscurecidos

San Miguel scene –  
Direct Illumination

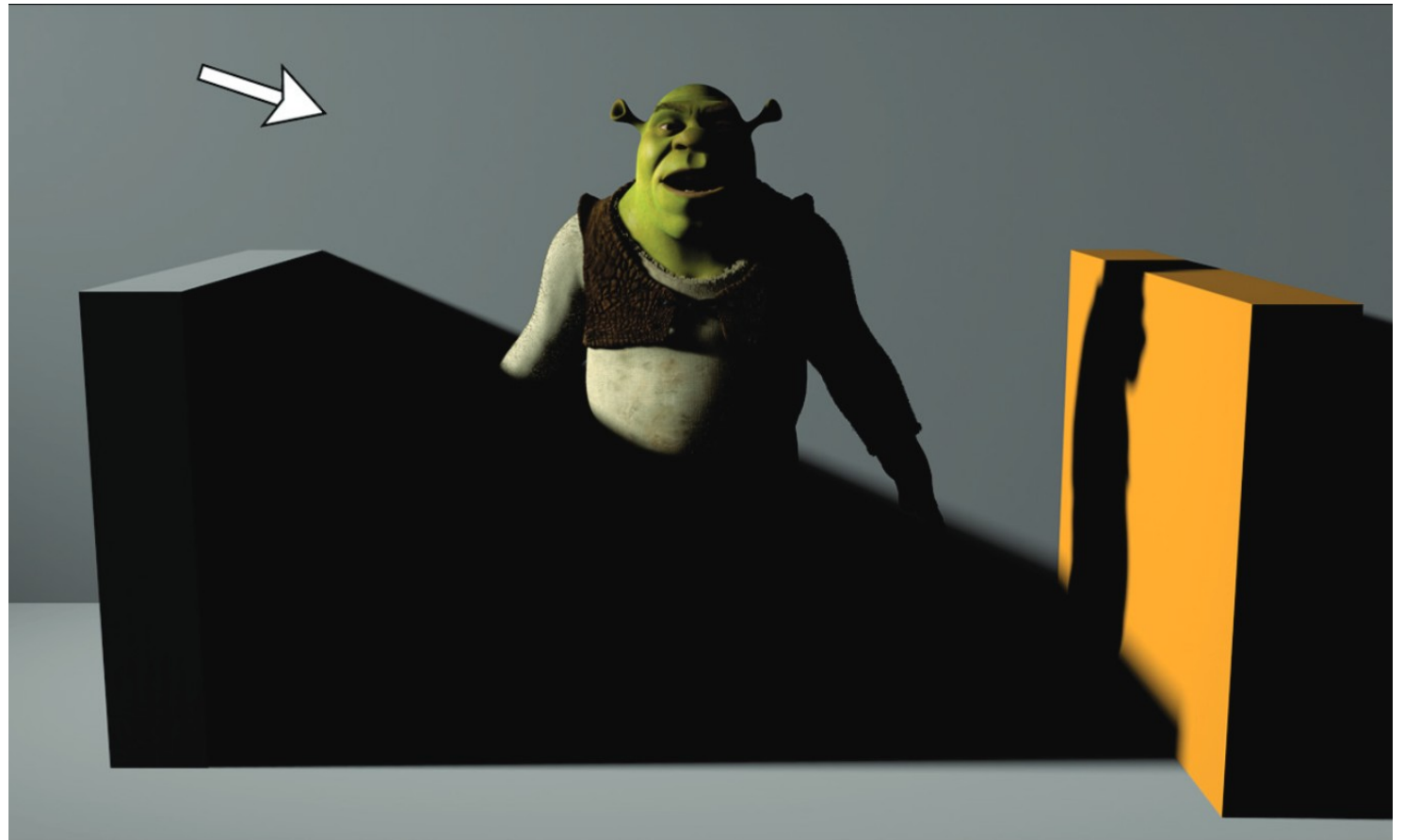


# Iluminación directa vs global



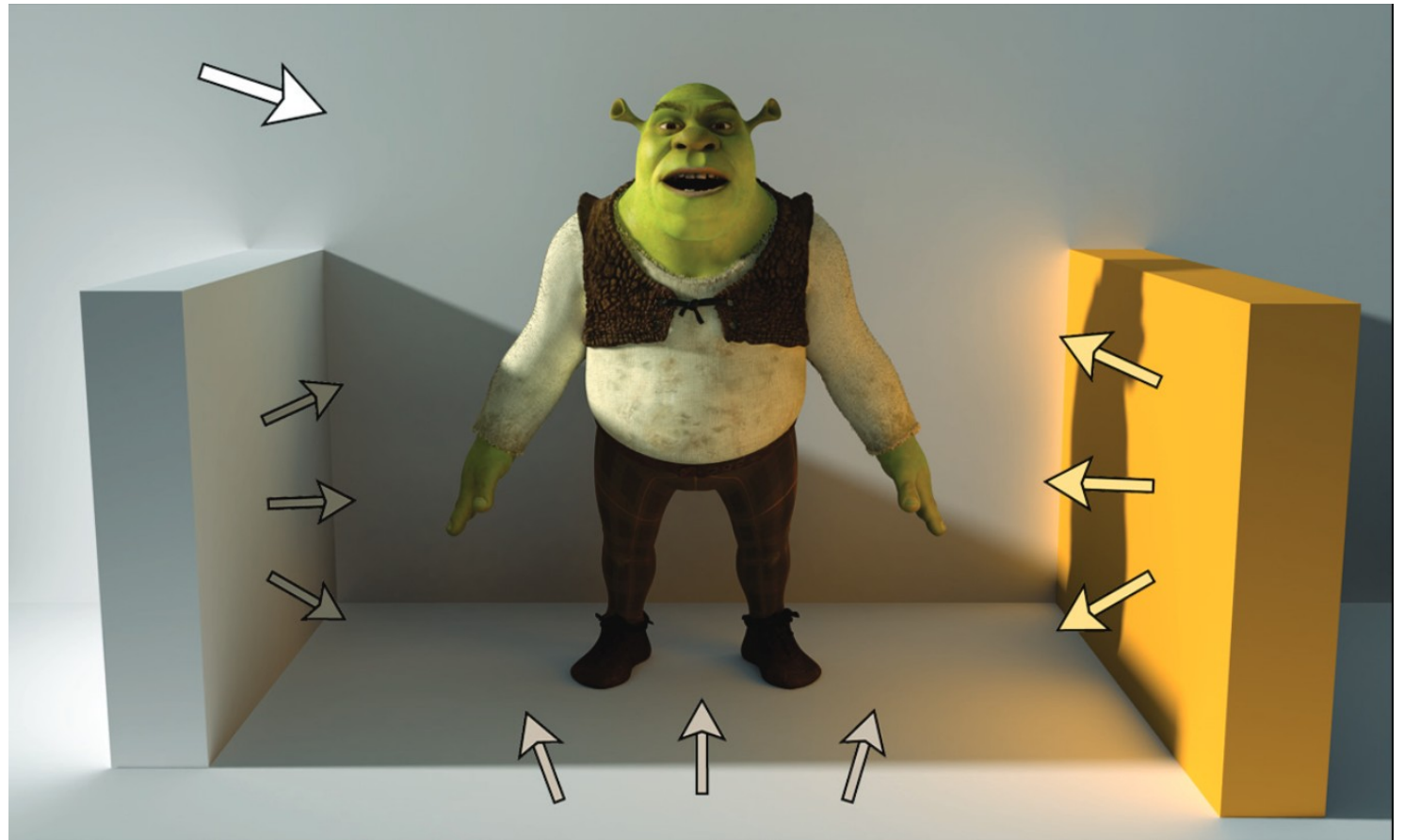
# Iluminación directa vs global

Iluminación directa



# Iluminación directa vs global

Iluminación global





RTX Boulevard – Direct  
Illumination demo

NVIDIA

<https://developer.nvidia.com/rtxdi>



RTX Boulevard – Direct  
Illumination demo

NVIDIA

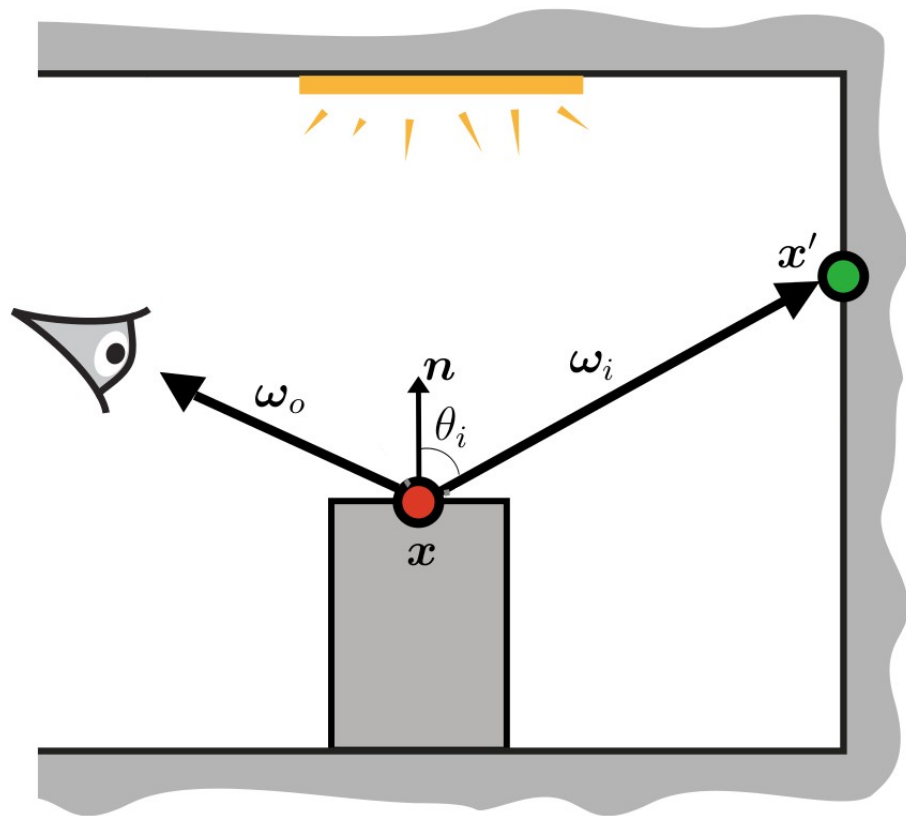
<https://developer.nvidia.com/rtxdi>





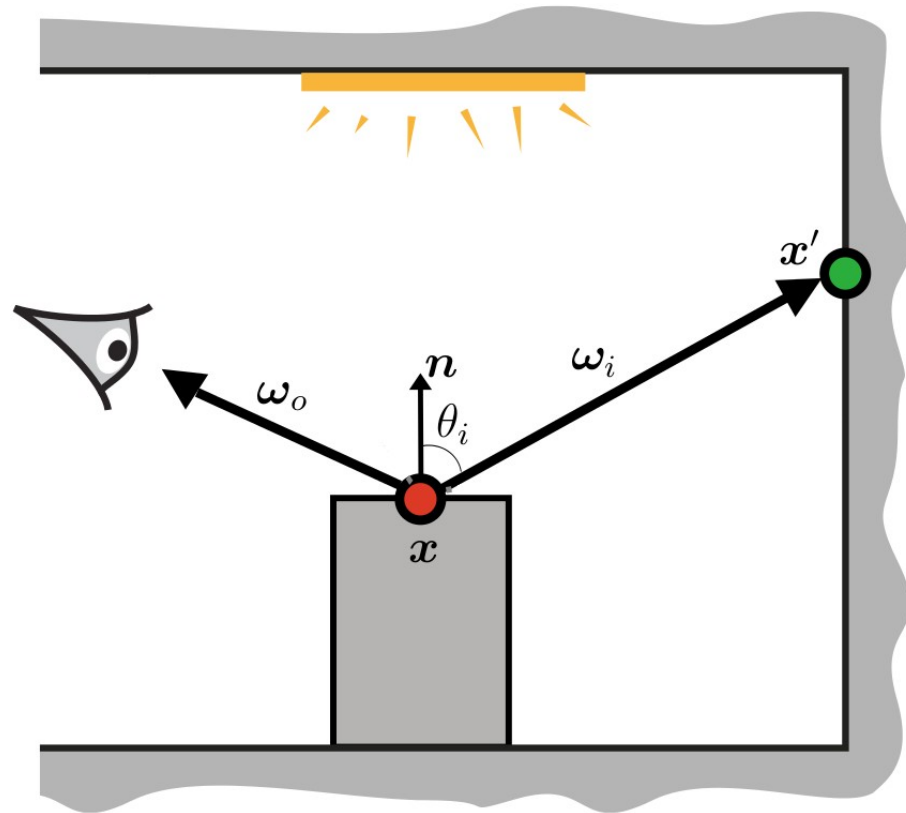
# La ecuación de ilum. directa

- Considere la siguiente escena, observada por un sensor desde algún punto
  - El sensor observa un punto  $x$  en la escena con una dirección  $\omega_o$



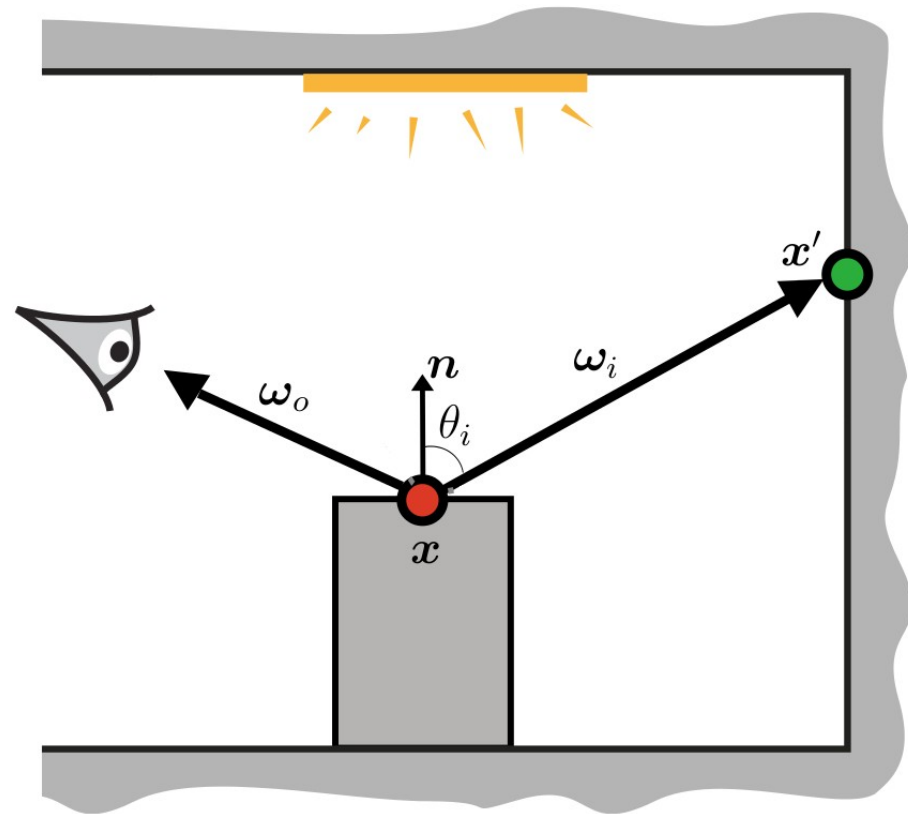
# La ecuación de ilum. directa

- Considere la siguiente escena, observada por un sensor desde algún punto
  - El sensor observa un punto  $x$  en la escena con una dirección  $\omega_o$
  - En ese punto la normal es  $n$



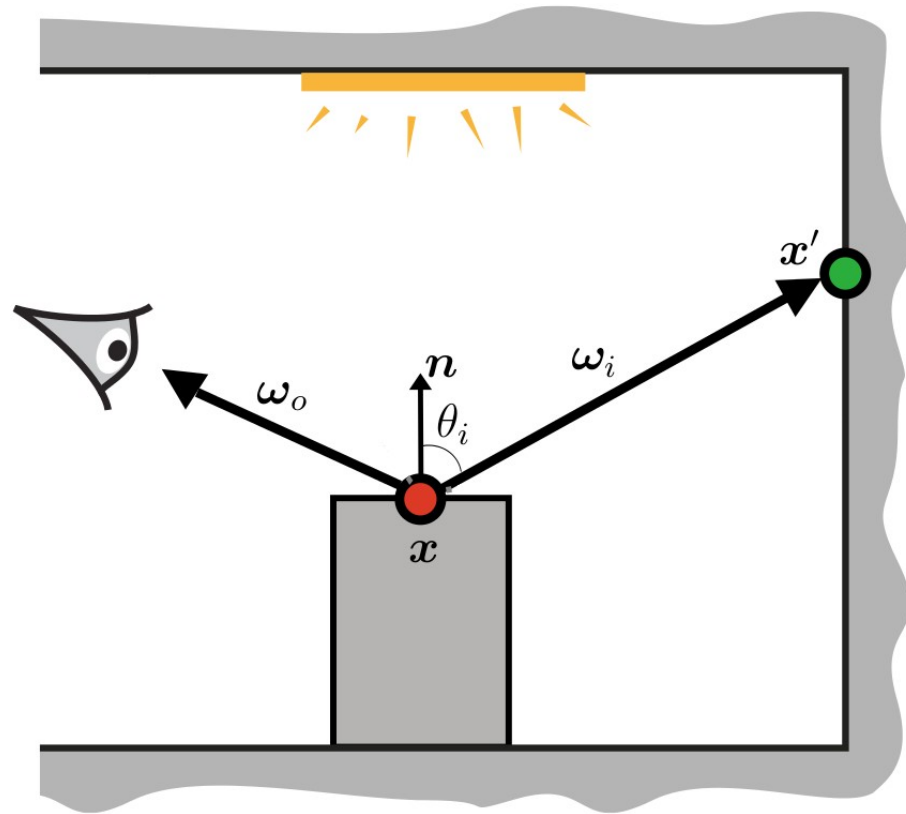
# La ecuación de ilum. directa

- Considere la siguiente escena, observada por un sensor desde algún punto
  - El sensor observa un punto  $x$  en la escena con una dirección  $\omega_o$
  - En ese punto la normal es  $n$
  - La luz entrante tendrá una dirección  $\omega_i$  desde algún punto  $x'$



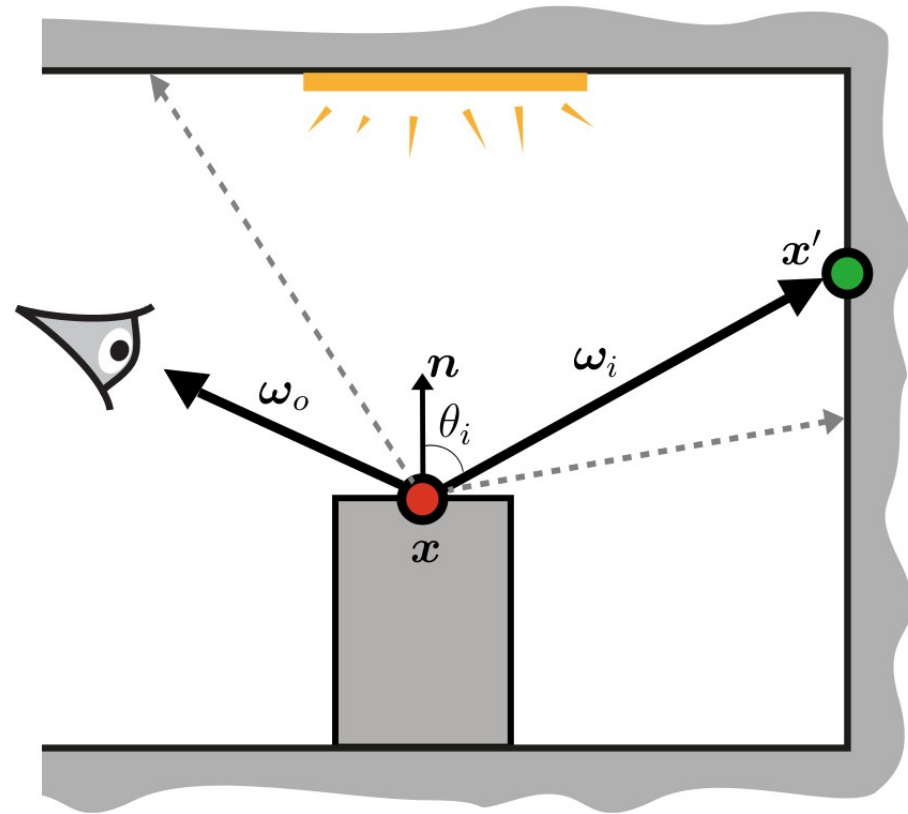
# La ecuación de ilum. directa

- Considere la siguiente escena, observada por un sensor desde algún punto
  - El sensor observa un punto  $x$  en la escena con una dirección  $\omega_o$
  - En ese punto la normal es  $n$
  - La luz entrante tendrá una dirección  $\omega_i$  desde algún punto  $x'$
  - Tenemos un ángulo  $\theta_i$  entre la normal y la dirección entrante



# La ecuación de ilum. directa

- ¡El punto  $x'$  no emite luz!
  - Hay que trazar más rayos

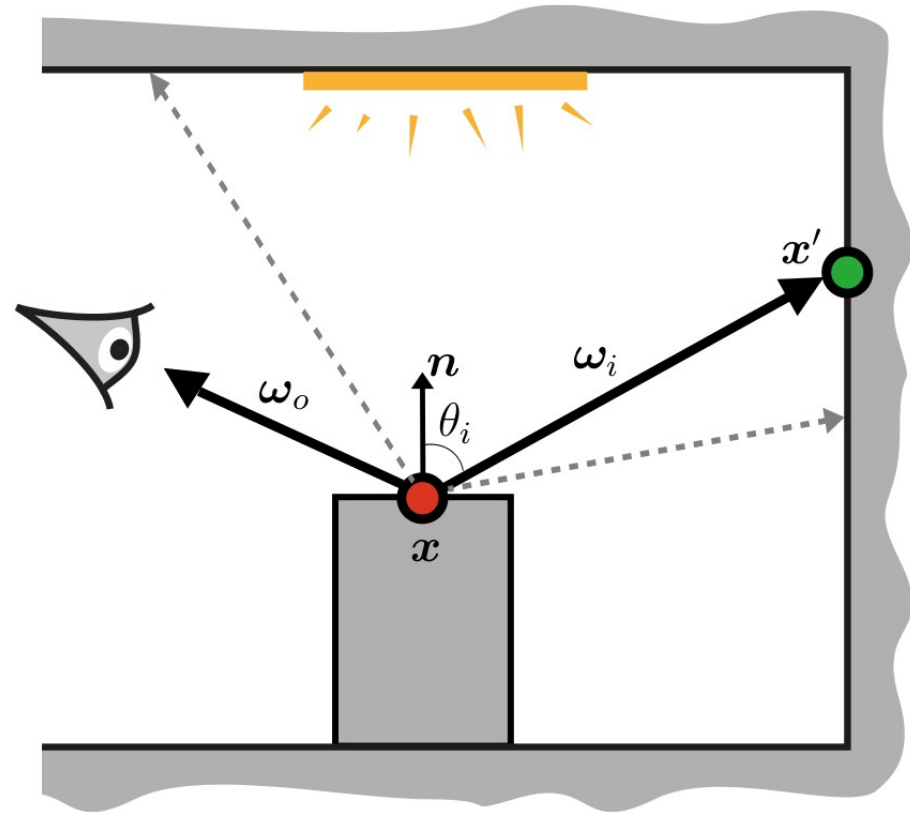




# La ecuación de ilum. directa

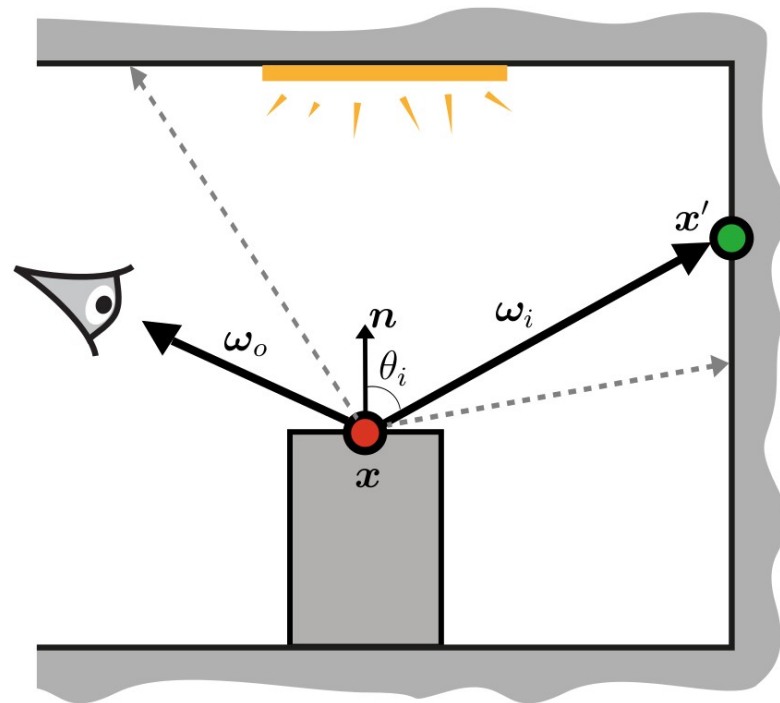
- ¡El punto  $x'$  no emite luz!
  - Hay que trazar más rayos
  - La luz saliente (hacia el sensor) desde el punto observado es la *suma* de la luz *reflejada* desde todas las direcciones *alrededor* del punto observado.

$$\sum_{\Omega} \rightarrow \int_{\Omega}$$



# La ecuación de ilum. directa

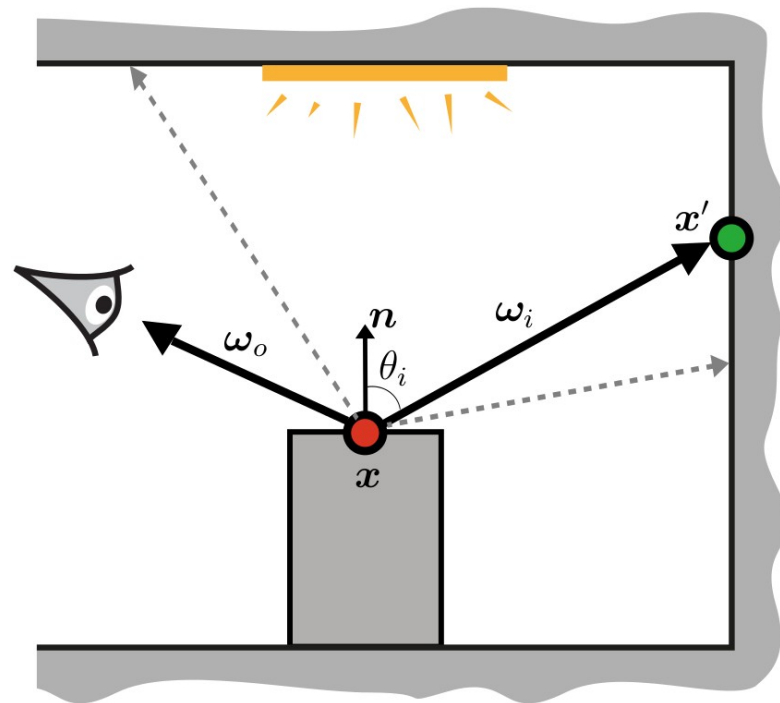
- La ecuación de renderizado para iluminación directa:
  - La radiancia saliente en dirección  $\omega_o$  desde un punto  $x$



$$L(x, \omega_o) = \int_{\Omega} L_e(x', -\omega_i) f_r(x, \omega_o, \omega_i) (\mathbf{n}_x \cdot \omega_i) d\omega_i$$

# La ecuación de ilum. directa

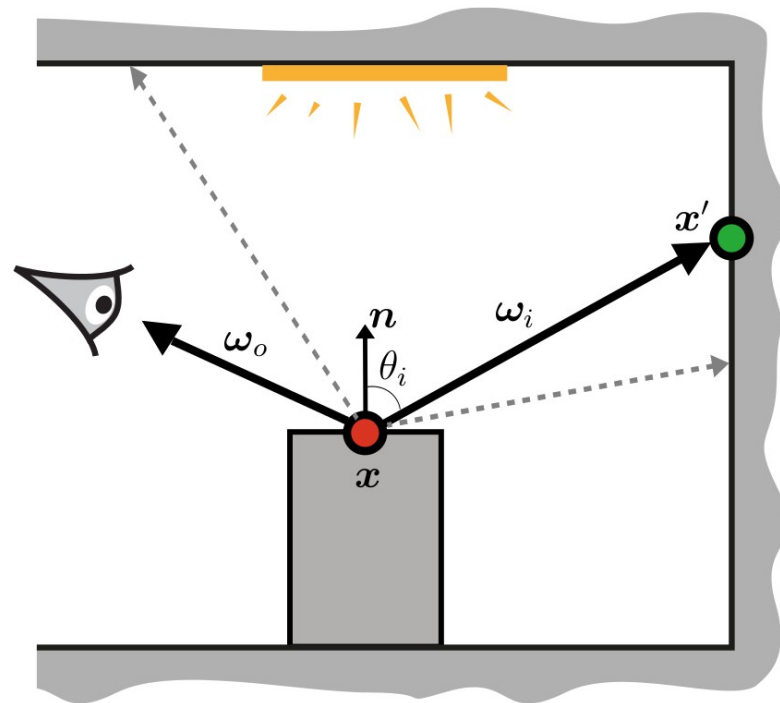
- La ecuación de renderizado para iluminación directa:
  - La radiancia saliente en dirección  $\omega_o$  desde un punto  $x$
  - Es la suma para todas las direcciones incidentes  $\omega_i$



$$L(x, \omega_o) = \int_{\Omega} L_e(x', -\omega_i) f_r(x, \omega_o, \omega_i) (\mathbf{n}_x \cdot \omega_i) d\omega_i$$

# La ecuación de ilum. directa

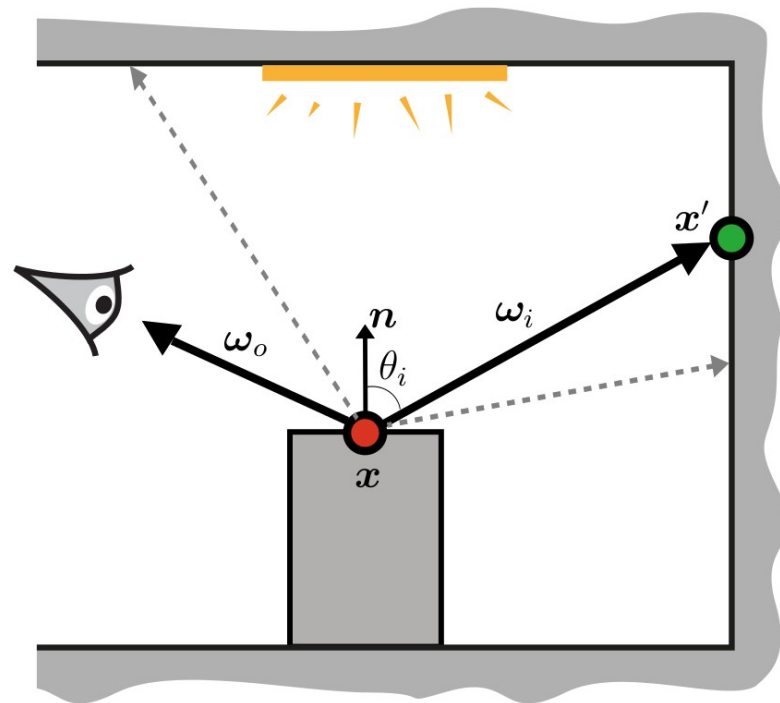
- La ecuación de renderizado para iluminación directa:
  - La radiancia saliente en dirección  $\omega_o$  desde un punto  $x$
  - Es la suma para todas las direcciones incidentes  $\omega_i$
  - De la luz reflejada en ese punto para el par de direcciones dadas



$$L(x, \omega_o) = \int_{\Omega} L_e(x', -\omega_i) f_r(x, \omega_o, \omega_i) (\mathbf{n}_x \cdot \omega_i) d\omega_i$$

# Radiancia emitida

- El término  $L_e$  denota
  - La luz emitida desde  $x'$
  - Con dirección  $-\omega_i$
  - Es decir, hacia el punto observado

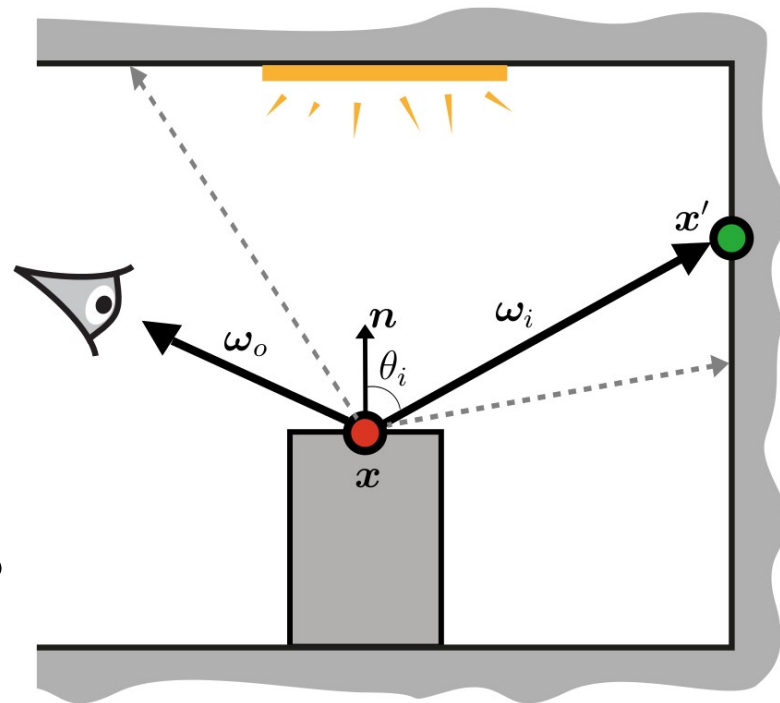


$$L(x, \omega_o) = \int_{\Omega} L_e(x', -\omega_i) f_r(x, \omega_o, \omega_i) (\mathbf{n}_x \cdot \omega_i) d\omega_i$$



# BRDF

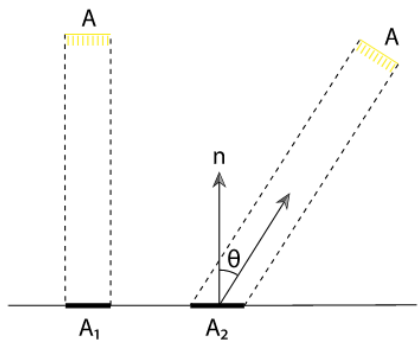
- El término  $f_r$  es
  - La BRDF: función de distribución bidireccional de reflexión
  - Define como la luz *cambia* después de interactuar con el material
  - Responde a ¿cómo es la luz reflejada en el punto  $x$  hacia una dirección  $\omega_o$  desde una dirección  $\omega_i$  ?



$$L(x, \omega_o) = \int_{\Omega} L_e(x', -\omega_i) f_r(x, \omega_o, \omega_i) (\mathbf{n}_x \cdot \omega_i) d\omega_i$$

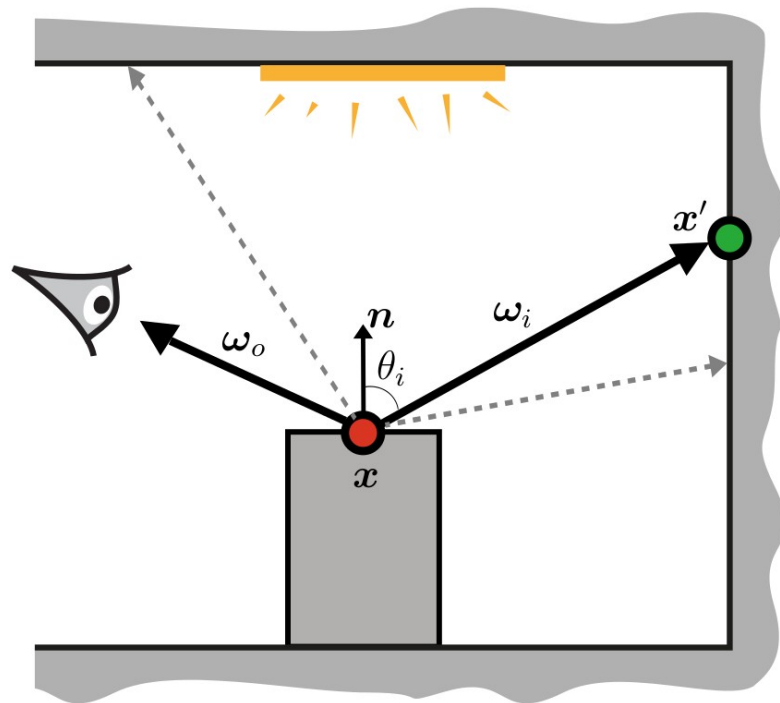
# Coseno

- El término  $\mathbf{n}_x \cdot \omega_i$  es
  - $\cos \theta_i$  (definición producto punto)
  - Necesario pues la medida de la integral es ángulos sólidos



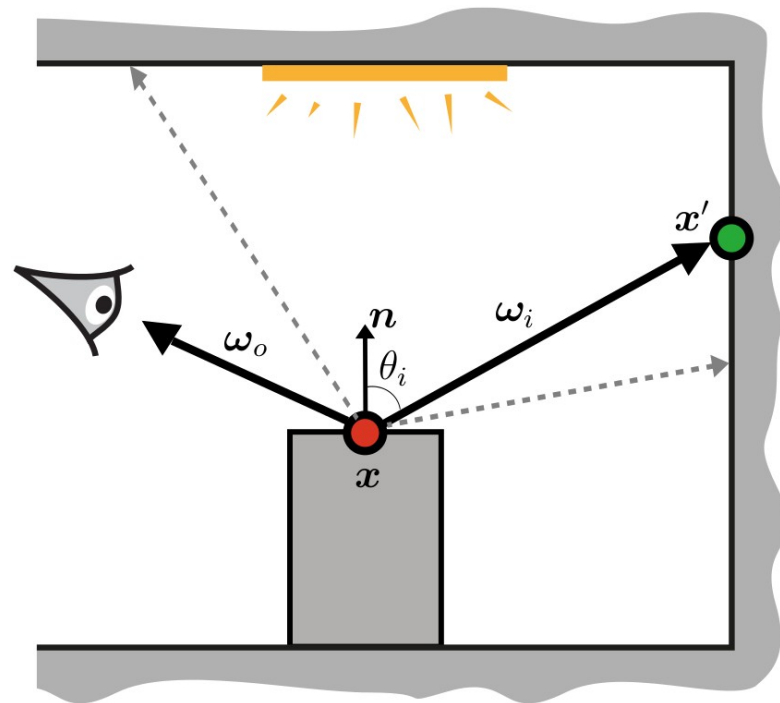
$$A = A_2 \cos \theta$$

$$L(x, \omega_o) = \int_{\Omega} L_e(x', -\omega_i) f_r(x, \omega_o, \omega_i) (\mathbf{n}_x \cdot \omega_i) d\omega_i$$



# Reto

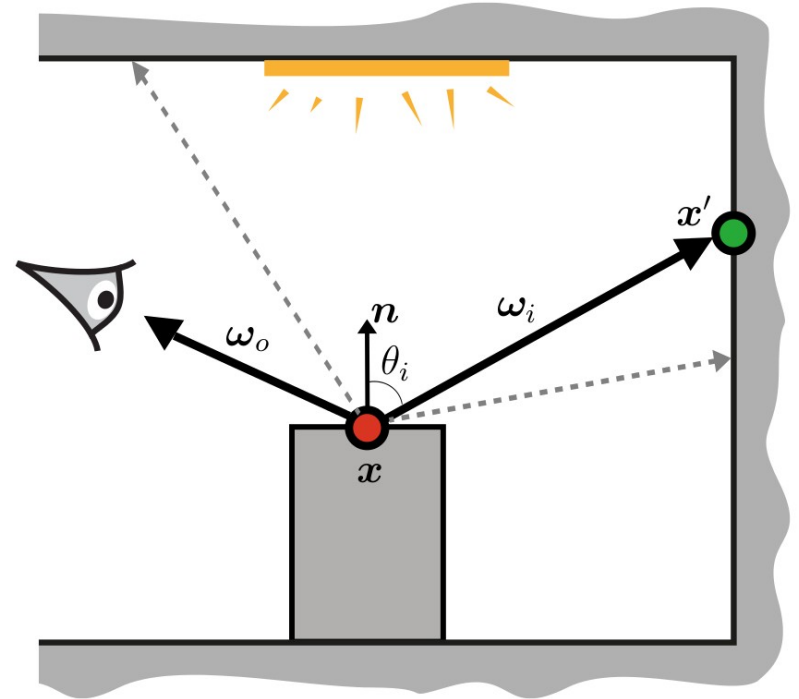
- ¿Cómo encontrar la solución a esta ecuación?
  - **Analítico**: no existe salvo en casos muy limitados
    - La geometría de la escena es arbitraria
    - La BRDF puede ser muy compleja



$$L(x, \omega_o) = \int_{\Omega} L_e(x', -\omega_i) f_r(x, \omega_o, \omega_i) \cos \theta_i d\omega_i$$

# Reto

- ¿Cómo encontrar la solución a esta ecuación?
  - **Numéricamente:**
    - Es computacionalmente complejo
    - No hay otra opción



$$L(x, \omega_o) = \int_{\Omega} L_e(x', -\omega_i) f_r(x, \omega_o, \omega_i) \cos \theta_i d\omega_i$$

# Integración numérica

- Los métodos numéricos como la regla trapezoidal o de cuadratura son útiles para integrales *suaves* de baja dimensionalidad
  - Se toman puntos o muestras en el dominio de integración y se evalúa la función a integrar para calcular una pequeña área
  - Si 10 puntos dan un buen resultado para una dimensión, entonces se necesitan  $10^n$  para  $n$  dimensiones
- En rendering tenemos integrales *no suaves*, *discontinuas* e *infinito-dimensionales*



# Integración Monte Carlo

- El método Monte Carlo fue desarrollado para problemas de simulación nuclear
  - Nombrado por el casino Monte Carlo en Mónaco
- Los puntos o muestras del dominio son tomados de manera *aleatoria*
- ¡Su ratio de convergencia es independiente al número de dimensiones!

# El estimador

- El método Monte Carlo calcula el valor de una integral por medio del estimador:

$$I = \int_D f(\mathbf{x})d\mathbf{x} \approx \frac{1}{N} \sum_{i=0}^{N-1} \frac{f(\mathbf{x}_i)}{p(\mathbf{x}_i)}$$

- En donde cada *muestra*  $\mathbf{x}_i$  es tomada *aleatoriamente* del dominio  $D$ , y tiene una probabilidad  $p(\mathbf{x}_i)$

# Evaluación

- La evaluación es *trivial*
  - Únicamente es necesario conocer la función que se pretende integrar

$$I = \int_D f(\mathbf{x}) d\mathbf{x} \approx \frac{1}{N} \sum_{i=0}^{N-1} \frac{f(\mathbf{x}_i)}{p(\mathbf{x}_i)}$$

# Muestreo

- El muestreo consiste en obtener una muestra aleatoria  $\mathbf{x}_i$  en el dominio de integración  $D$ 
  - Requisito **indispensable** que sea posible muestrear el espacio en el que la función es distinta a 0

$$I = \int_D f(\mathbf{x}) d\mathbf{x} \approx \frac{1}{N} \sum_{i=0}^{N-1} \frac{f(\mathbf{x}_i)}{p(\mathbf{x}_i)}$$

# Probabilidad de muestra

- Finalmente dividimos por la probabilidad de la muestra  $x_i$ 
  - Si la función es distinta a 0, también la probabilidad debe serlo

$$I = \int_D f(\mathbf{x}) d\mathbf{x} \approx \frac{1}{N} \sum_{i=0}^{N-1} \frac{f(\mathbf{x}_i)}{p(\mathbf{x}_i)}$$

# El estimador para iluminación directa

- Nuestro estimador Monte Carlo para la ecuación de iluminación directa será:

$$L(\mathbf{x}, \omega_{\mathbf{o}}) = \int_{\Omega} L_e(\mathbf{x}', -\omega_{\mathbf{i}}) f_r(\mathbf{x}, \omega_{\mathbf{o}}, \omega_{\mathbf{i}}) \cos \theta_{\mathbf{i}} d\omega_{\mathbf{i}}$$
$$\approx \frac{1}{N} \sum_{j=0}^{N-1} \frac{L_e(\mathbf{x}', -\omega_{\mathbf{i}}) f_r(\mathbf{x}, \omega_{\mathbf{o}}, \omega_{\mathbf{i}}) \cos \theta_{\mathbf{i}}}{p(\omega_{\mathbf{i}})}$$

- Muestrear direcciones  $\omega_{\mathbf{i}}$  y calcular su probabilidad

# Muestreo y probabilidad

- Antes de muestrear direcciones, revisemos el muestreo uniforme en un intervalo:
  - Dado un número aleatorio  $\xi \in [0, 1)$
  - Podemos obtener una muestra aleatoria en un intervalo  $[a, b)$

$$x_j = a + (b - a)\xi$$

- Al estar uniformemente distribuido su probabilidad es

$$p(x_j) = \frac{1}{b - a}$$

# Muestreo de esfera

- Muestreo uniforme en la esfera

- Podemos muestrear uniformemente los ángulos polares y azimutales

$$\theta_j = \arccos(1 - 2\xi_1)$$

$$\phi_j = 2\pi\xi_2$$

- Convertir la dirección esférica muestreada a coordenadas cartesianas (¡es una dirección local!)

- Probabilidad: inverso del área  $p(\omega_j) = \frac{1}{A} = \frac{1}{4\pi}$



# Muestreo de hemisferio

- Muestreo uniforme en un hemisferio
  - Podemos muestrear uniformemente los ángulos polares y azimutales

$$\theta_j = \arccos(\xi_1)$$

$$\phi_j = 2\pi\xi_2$$

- Convertir la dirección esférica muestreada a coordenadas cartesianas (¡es una dirección local!)
- Probabilidad: inverso del área  $p(\omega_j) = \frac{1}{A} = \frac{1}{2\pi}$

# El estimador para iluminación directa (2)

- La implementación del estimador Monte Carlo:

$$L(\mathbf{x}, \omega_o) \approx \frac{1}{N} \sum_{j=0}^{N-1} \frac{L_e(\mathbf{x}', -\omega_i) f_r(\mathbf{x}, \omega_o, \omega_i) \cos \theta_i}{p(\omega_i)}$$

- Un rayo desde la cámara con dirección  $\omega_o$  intersecta la escena en un punto  $\mathbf{x}$  (queremos estimar el color)

# El estimador para iluminación directa (2)

- La implementación del estimador Monte Carlo:

$$L(\mathbf{x}, \omega_o) \approx \frac{1}{N} \sum_{j=0}^{N-1} \frac{L_e(\mathbf{x}', -\omega_i) f_r(\mathbf{x}, \omega_o, \omega_i) \cos \theta_i}{p(\omega_i)}$$

- Muestrear direcciones  $\omega_i$  y calcular su probabilidad
  - OJO: la dirección muestreada generalmente es *local* y posiblemente sea necesario cambiarla a *global*

# El estimador para iluminación directa (2)

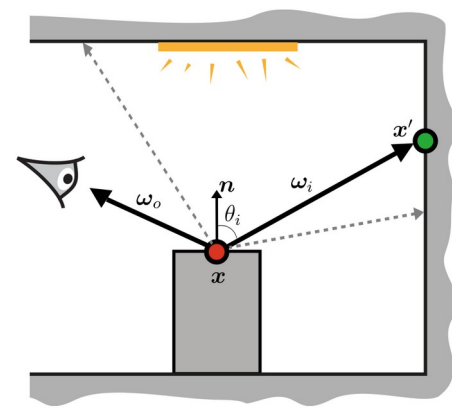
- La implementación del estimador Monte Carlo:

$$L(\mathbf{x}, \omega_o) \approx \frac{1}{N} \sum_{j=0}^{N-1} \frac{L_e(\mathbf{x}', -\omega_i) f_r(\mathbf{x}, \omega_o, \omega_i) \cos \theta_i}{p(\omega_i)}$$

- Determinar la normal en  $\mathbf{x}$
- Calcular el coseno del ángulo entre la dirección muestreada y la normal

$$\cos \theta_i = \mathbf{n} \cdot \omega_i$$

# El estimador para iluminación directa (2)

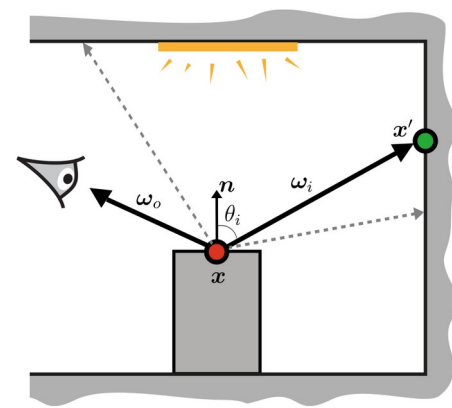


- La implementación del estimador Monte Carlo:

$$L(x, \omega_o) \approx \frac{1}{N} \sum_{j=0}^{N-1} \frac{L_e(x', -\omega_i) f_r(x, \omega_o, \omega_i) \cos \theta_i}{p(\omega_i)}$$

- Lanzar un rayo secundario desde  $x$  con dirección  $\omega_i$
- Determinar el punto  $x'$  en el que este nuevo rayo intersecta la escena

# El estimador para iluminación directa (2)



- La implementación del estimador Monte Carlo:

$$L(x, \omega_o) \approx \frac{1}{N} \sum_{j=0}^{N-1} \frac{L_e(x', -\omega_i) f_r(x, \omega_o, \omega_i) \cos \theta_i}{p(\omega_i)}$$

- Si el punto  $x'$  está localizado en una fuente luminosa, su radiancia será mayor que 0
  - Si el objeto no emite luz su radiancia es 0

# El estimador para iluminación directa (2)

- La implementación del estimador Monte Carlo:

$$L(\mathbf{x}, \omega_o) \approx \frac{1}{N} \sum_{j=0}^{N-1} \frac{L_e(\mathbf{x}', -\omega_i) f_r(\mathbf{x}, \omega_o, \omega_i) \cos \theta_i}{p(\omega_i)}$$

- Determinar la naturaleza de la luz reflejada en el punto  $\mathbf{x}$ , desde la dirección incidente  $\omega_i$  hacia la dirección saliente  $\omega_o$
- La BRDF estará definida según el material
  - Caso simple BRDF difusa
  - $\rho$  es el color o albedo

$$f_r(\mathbf{x}, \omega_o, \omega_i) = \frac{\rho}{\pi}$$

# Muestreo de importancia

- El muestreo de importancia es una técnica para hacer que nuestro estimador Monte Carlo converja más rápido

$$I = \int_D f(\mathbf{x})d\mathbf{x} \approx \frac{1}{N} \sum_{i=0}^{N-1} \frac{f(\mathbf{x}_i)}{p(\mathbf{x}_i)}$$

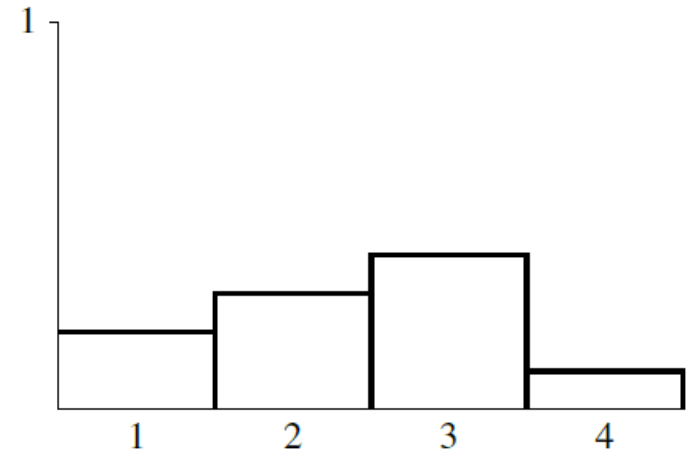
tomando muestras  $\mathbf{x}_i$  de una distribución  $p(\mathbf{x})$  que sea **similar** a la función  $f(\mathbf{x})$  en el integrando

- Muestreo uniforme es subóptimo pues no considera la naturaleza del integrando



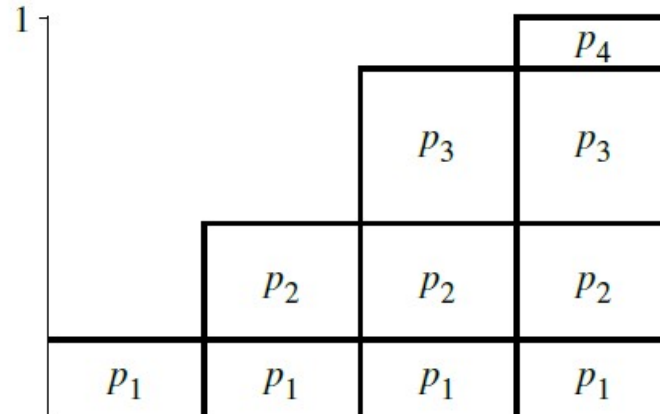
# Método de inversión

- Utiliza una o más variables aleatorias y las *mapea* a variables aleatorias de la distribución deseada.
- Principios, considere la siguiente distribución discreta:
  - Debe integrar a 1
  - Toda distribución cumple
  - Se tienen 4 eventos posibles
    - $p_1, p_2, p_3$  y  $p_4$



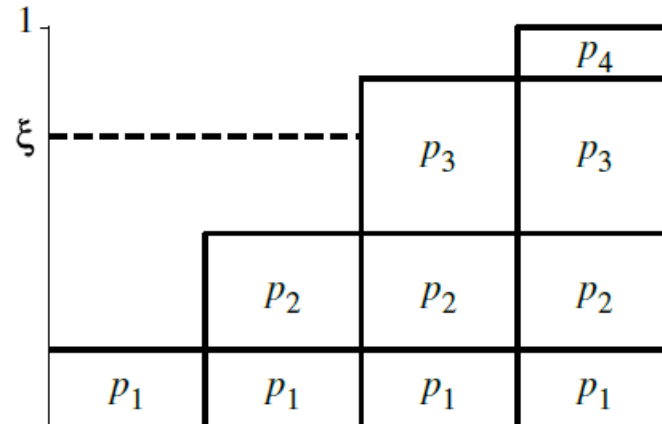
# Método de inversión (2)

- La función de distribución acumulativa (CDF) será:
  - La altura de cada columna es la suma de las alturas de los eventos anteriores



# Método de inversión (3)

- Para muestrear la distribución tomamos un número aleatorio y lo utilizamos para seleccionar uno de los posibles resultados de la CDF:
  - La altura de cada columna es la suma de las alturas de los eventos anteriores



# Método de inversión (4)

- En el caso continuo la CDF es la integral de la distribución:
  - 1. Dada una función  $p(x)$  de la que se desea muestrear, encontrar su constante de normalización integrando para el dominio de muestreo deseado:

$$\int_a^b cp(x)dx = 1$$

- 2. Utilizando esta constante obtener la CDF:

$$P(x) = \int_a^x cp(x')dx'$$

# Método de inversión (5)

- 3. Calcular la función inversa  $P^{-1}(x)$
- 4. Obtener un número uniformemente distribuido  $\xi$
- 5. Computar el número aleatorio con distribución  $p(x)$  haciendo:

$$X_i = P^{-1}(\xi)$$

# Ejemplo: distribución potencia

- La PDF de la distribución potencia está definida en el intervalo  $[0,1)$ :

$$p(x) \propto x^n$$

- encontramos la constante de normalización:

$$\int_0^1 cx^n dx = 1$$

$$c \frac{x^{n+1}}{n+1} \Big|_0^1 = 1$$

$$c \left( \frac{1^{n+1}}{n+1} - \frac{0^{n+1}}{n+1} \right) = 1$$

$$\frac{c}{n+1} = 1$$

$$c = n + 1$$

# Ejemplo: distribución potencia (2)

- Ahora encontramos la CDF  $P(x) = \int_0^x p(x') dx'$

$$P(x) = \int_0^x (n+1)x'^n dx' = x^{n+1}$$

- Invertimos  $P(x)$

$$P^{-1}(x) = \sqrt[n+1]{x}$$

- Y ahora podemos obtener una muestra con distribución potencia:

$$X = \sqrt[n+1]{\xi}$$

# Ejemplo: distribución coseno hemisférico

- Dada la ecuación de renderizado para iluminación directa, idealmente deseearíamos que:

$$p(\omega) \propto L_e \times f_r \times \cos$$

- Lamentablemente, esto involucra integrar dicha función
  - ¡No se puede integrar!
  - Si la pudieramos integrar analíticamente no haríamos MC
- Pero sí podemos muestrear de acuerdo a alguno de los factores

$$p(\omega) \propto \cos \theta$$



# Ejemplo: distribución coseno hemisférico (2)

- Encontramos el factor de normalización

$$\int_{H^2} c \cos \theta d\omega = 1$$

$$\int_0^{2\pi} \int_0^{\pi/2} c \cos \theta \sin \theta d\theta d\phi = 1$$

$$c2\pi \int_0^{\pi/2} \cos \theta \sin \theta d\theta = 1$$

$$c2\pi \left( -\frac{1}{2} \cos^2 \theta \right) \Big|_0^{\pi/2} = c2\pi \left( -\frac{1}{2} \cos^2(\pi/2) + \frac{1}{2} \cos^2(0) \right) = 1$$

$$c2\pi \left( 0 + \frac{1}{2} \right) = \frac{c2\pi}{2} = 1$$

$$c = \frac{1}{\pi}$$

Cambiamos de dominio de integración, es necesario el Jacobiano

# Ejemplo: distribución coseno hemisférico (3)

- Por lo que

$$p(\theta, \phi) = \frac{1}{\pi} \cos \theta \sin \theta$$

- Ahora para obtener  $p(\theta, \phi) = p_\theta(\theta)p_\phi(\phi)$  primero hacemos la función de densidad marginal  $p_\theta(\theta)$

$$\begin{aligned} p_\theta(\theta) &= \int_0^{2\pi} p(\theta, \phi) d\phi = \int_0^{2\pi} \frac{1}{\pi} \cos \theta \sin \theta d\phi \\ &= \frac{1}{\pi} \cos \theta \sin \theta \int_0^{2\pi} d\phi = 2 \cos \theta \sin \theta \end{aligned}$$

# Ejemplo: distribución coseno hemisférico (4)

- Ahora necesitamos la función de densidad condicional:

$$p(\phi|\theta) = p_\phi(\phi) = \frac{p(\theta, \phi)}{p_\theta(\theta)} = \frac{\frac{1}{\pi} \cos \theta \sin \theta}{2 \cos \theta \sin \theta} = \frac{1}{2\pi}$$

- Y ahora continuamos obteniendo la CDF de cada función:

$$P_\theta(\theta) = \int_0^\theta 2 \cos \theta' \sin \theta' d\theta' = -\frac{2}{2} \cos^2 \theta' \Big|_0^\theta = 1 - \cos^2 \theta$$

$$P_\phi(\phi) = \int_0^\phi \frac{1}{2\pi} d\phi' = \frac{1}{2\pi} \int_0^\phi d\phi' = \frac{\phi}{2\pi}$$

# Ejemplo: distribución coseno hemisférico (5)

- Invertimos ambas funciones:

$$P_{\theta}(\theta) = 1 - \cos^2 \theta$$

$$P_{\theta}^{-1}(\xi_1) = \arccos \sqrt{1 - \xi_1}$$

$$P_{\phi}(\phi) = \frac{\phi}{2\pi}$$

$$P_{\phi}^{-1}(\xi_2) = 2\pi\xi_2$$

- La dirección muestreada es *LOCAL* y *ESFÉRICA*
- Y la probabilidad de una dirección muestreada es:

$$p(\omega) = \frac{1}{\pi} \cos \theta$$

!!! Ya no es constante!!!

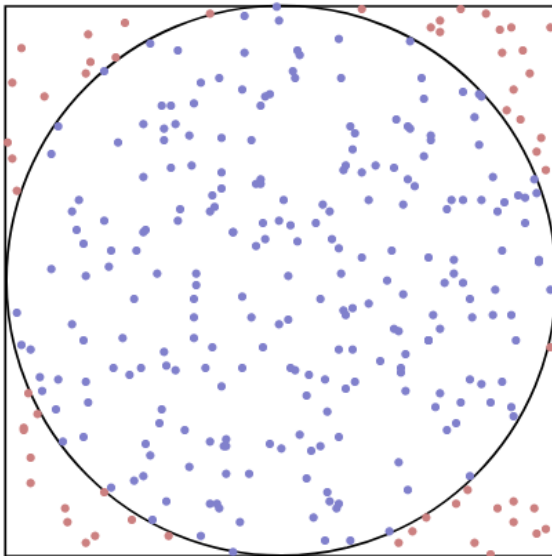
No confundir con  $p(\theta, \phi)$

# Muestreo de rechazo

- Es posible que algunas funciones no puedan ser integradas para encontrar su PDF
  - o su CDF no puede ser invertida analíticamente.
- El método del rechazo permite generar muestras de estas distribuciones sin necesidad de integrar o invertir
  - Es análogo a tirar dardos
  - Toma muestras de una distribución hasta que la muestra *caiga* en el dominio de integración.

# Ejemplo: muestreo de rechazo

- Supongamos que queremos muestrear uniformemente puntos dentro del círculo unitario
  - Pero podemos tomar muestras del cuadrado circunscrito

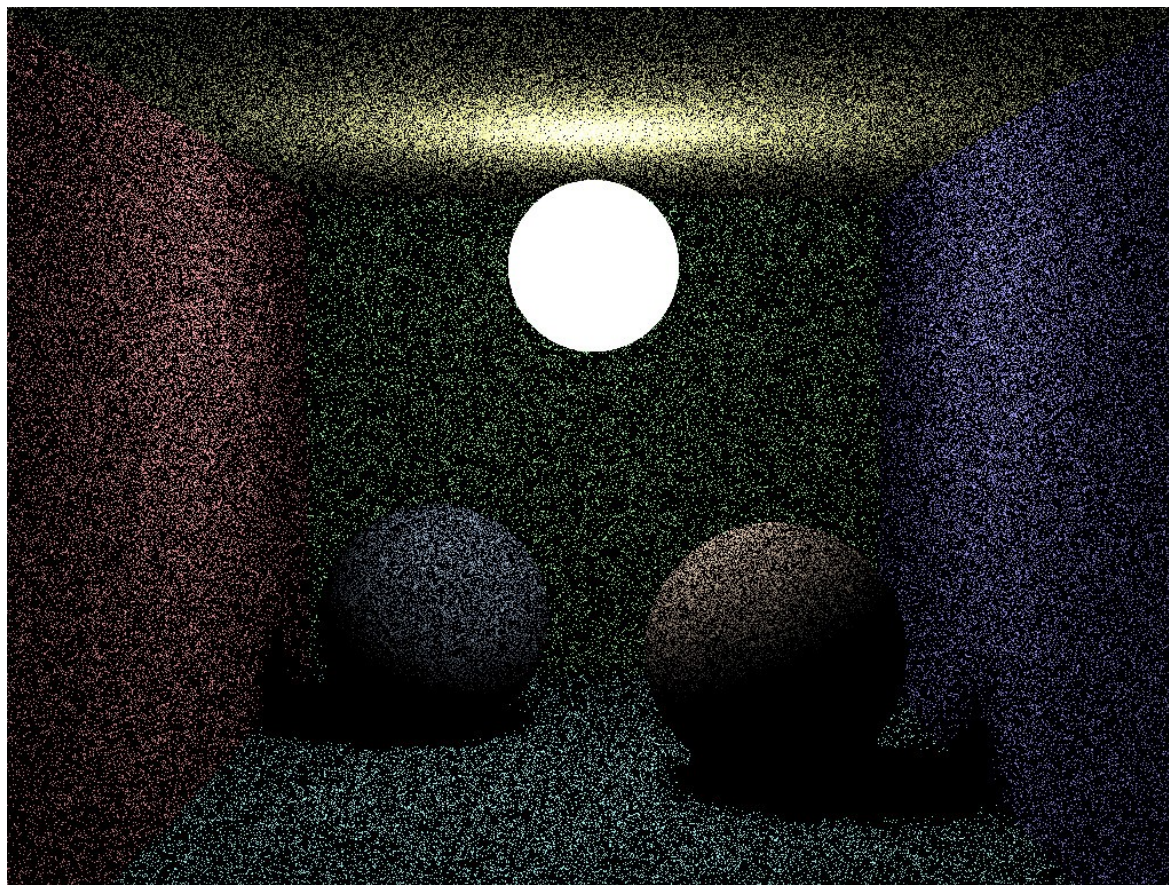


```
Point2f RejectionSampleDisk(RNG &rng) {  
    Point2f p;  
    do {  
        p.x = 1 - 2 * rng.UniformFloat();  
        p.y = 1 - 2 * rng.UniformFloat();  
    } while (p.x * p.x + p.y * p.y > 1);  
    return p;  
}
```

# El impacto del muestreo

Muestreo de Uniforme en la esfera

32 spp

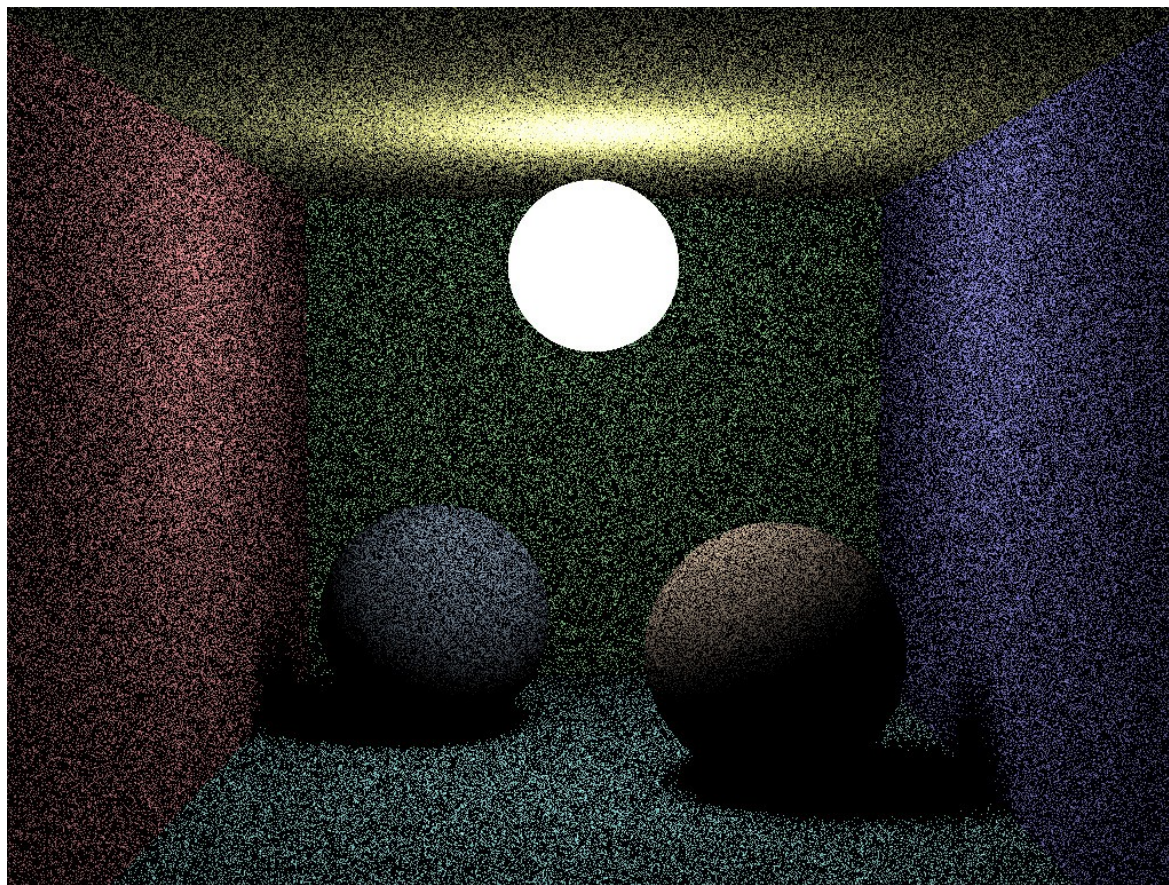




# El impacto del muestreo

Muestreo de Uniforme en hemisferio

32 spp

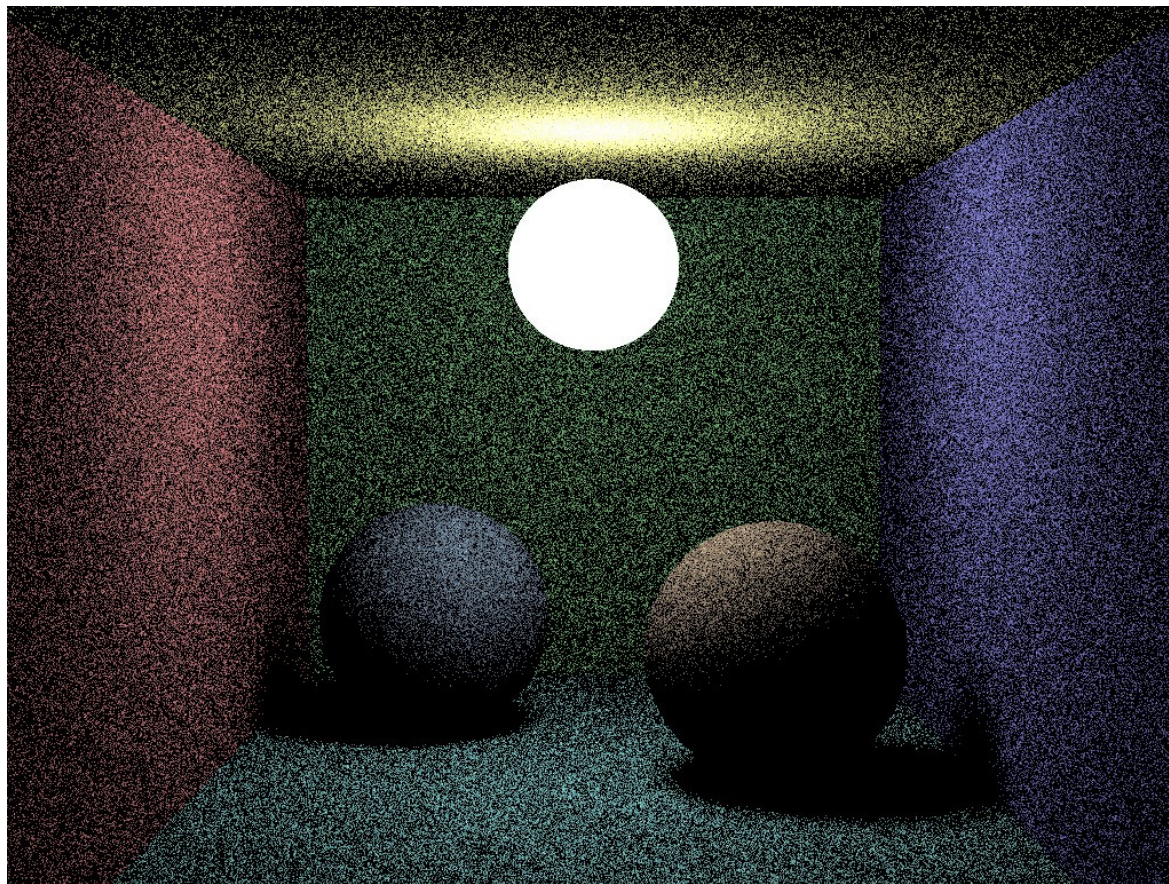




# El impacto del muestreo

Muestreo de coseno  
hemisférico

32 spp



# Muestreo de importancia

- ¿Nuestra estrategia hasta ahora es la correcta?

$$p(\omega) \propto L_e \times f_r \times \cos$$

# Muestreo de importancia

- ¿Nuestra estrategia hasta ahora es la correcta?

$$p(\omega) \propto L_e \times f_r \times \cos$$

- ¡NO!

– Muestrear respecto al coseno es bueno pero se ignora:

- La importancia de las fuentes luminosas,  $p_{L_e}(\omega) \propto L_e$
- La importancia del material, normalmente  $p_{f_r}(\omega) \propto f_r \times \cos$

# Muestreo de luz

- Muestrea direcciones de modo que el rayo resultante conecte con una fuente luminosa

$$p_{L_e}(\omega) \propto L_e$$

- ¿Cómo manejar la visibilidad?
  - ¿Muestreo de rechazo?
    - Costoso
    - ¿Y si la fuente está completamente ocluida?
  - ¿Incorporar la geometría?
  - La muestra contribuirá sólo si hay visibilidad, de otro modo la contribución es 0

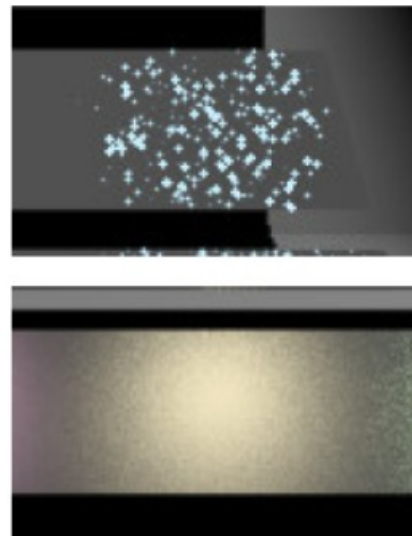
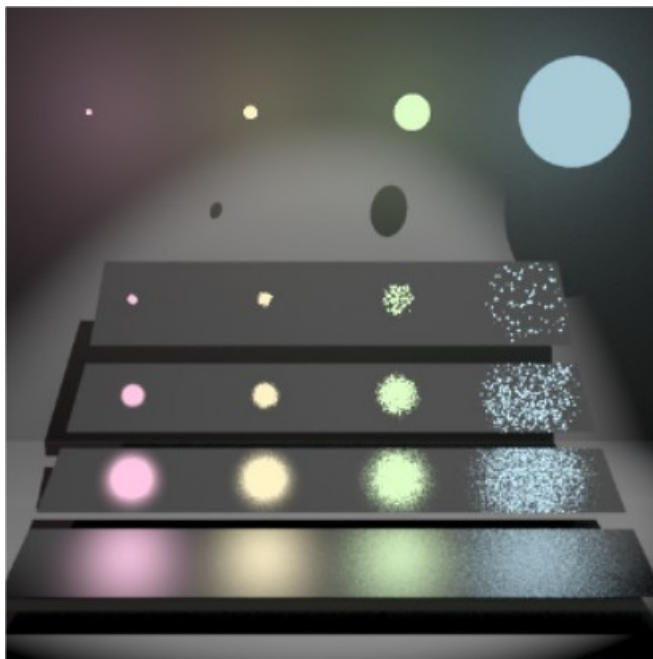
# Muestreo de BRDF

- Muestrea direcciones de acuerdo a la distribución del material

$$p_{f_r}(\omega) \propto f_r \times \cos$$

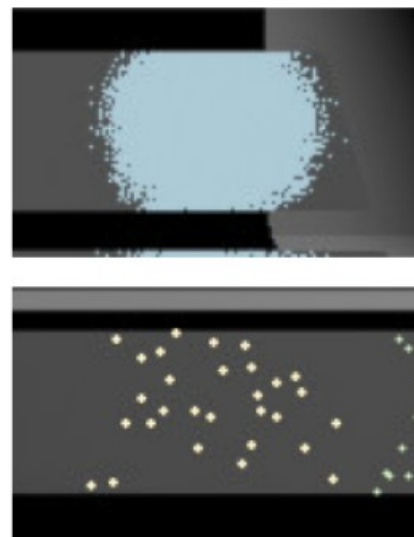
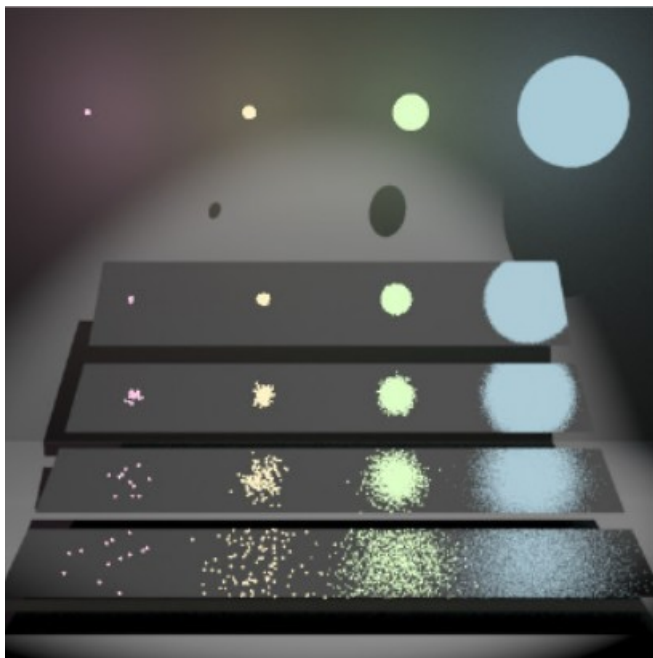
- No siempre resultará en un rayo que conecte con una fuente luminosa
  - Poca variancia cuando sí lo sea

- Muestreo de luz



$$p_{L_e}(\omega) \propto L_e$$

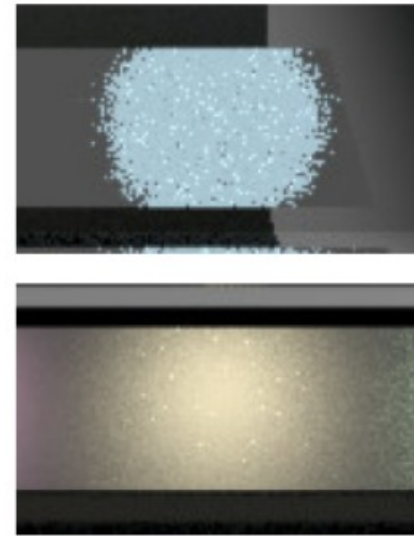
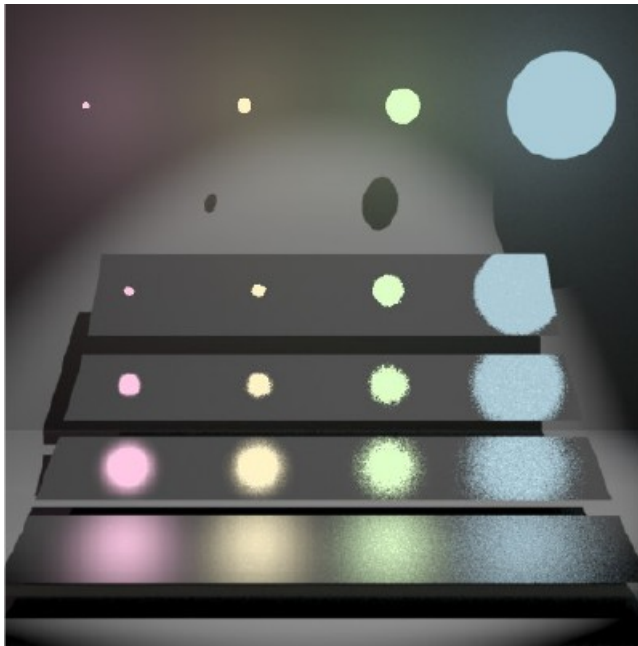
- Muestreo BRDF



$$p_{f_r}(\omega) \propto f_r \times \cos$$



- ¿Y si combinamos estrategias?



$$p(\omega) \propto L_e + f_r \times \cos$$



# Muestreo de Importancia Múltiple

- Considere que se desea integrar el producto de funciones y cuyo estimador Monte Carlo es:

$$\int f(x)g(x)dx \approx \frac{1}{N} \sum_{i=1}^N \frac{f(X_i)g(X_i)}{p(X_i)}$$

- Y tenemos métodos para generar muestras tomando cualquiera de las dos funciones es decir:

$$p_f(x) \propto f(x) \qquad p_g(x) \propto g(x)$$

# Muestreo de Importancia Múltiple

- El muestreo de importancia múltiple, nos permite crear el nuevo estimador Monte Carlo:

$$\int f(x)g(x)dx \approx$$

$$\frac{1}{N_f} \sum_{i=1}^{N_f} \left[ \frac{f(X_i)g(X_i)}{p_f(X_i)} w_f(X_i) \right] + \frac{1}{N_g} \sum_{j=1}^{N_g} \left[ \frac{f(X_j)g(X_j)}{p_g(X_j)} w_g(X_j) \right]$$

- Que es la suma de dos estimadores Monte Carlo con distinta estrategia y *ponderados* por medio de  $w_f$  y  $w_g$

# Muestreo de Importancia Múltiple

- Normalmente el número de muestras de cada estimador es igual por lo que:

$$\int f(x)g(x)dx \approx$$

$$\frac{1}{N} \sum_{i=1}^N \left[ \frac{f(X_{i_0})g(X_{i_0})}{p_f(X_{i_0})} w_f(X_{i_0}) + \frac{f(X_{i_1})g(X_{i_1})}{p_g(X_{i_1})} w_g(X_{i_1}) \right]$$

- Observación: entre corchetes hay un estimador Monte Carlo de una muestra.

# Ponderando los estimadores

- El *peso*  $w$  es una función especial escogida de modo que el *valor esperado* del estimador sea el valor de la integral.
- Estas funciones toman en cuenta *todas* las formas en que pudo haber sido generada una muestra.

# Heurística de balance

- Es la función de ponderación:

$$w_s(x) = \frac{n_s p_s(x)}{\sum_i n_i p_i(x)}$$

- Que en el caso particular de dos estrategias (luz y brdf) y una sólo muestra, estarán dados por:

$$w_f(x) = \frac{p_f(x)}{p_f(x) + p_g(x)} \quad w_g(x) = \frac{p_g(x)}{p_f(x) + p_g(x)}$$

# Heurística de balance (2)

- ¿Por qué funciona?

- Considere un muestreo proporcional a  $f(x)$  cuya evaluación genera un valor alto pero con poca probabilidad

$$\frac{f(X)g(X)}{p_f(X)}$$

- ¡Mucha variancia!

- Ahora considere el mismo valor muestreado, donde la probabilidad de acuerdo a  $p_g(X)$  sea adecuada

- El denominador no será pequeño

$$\frac{f(X)g(X)}{p_f(X)} \frac{p_f(X)}{p_f(X) + p_g(X)}$$

# Heurística de potencia

- En la práctica la heurística de potencia reduce todavía más la variancia.
- Para un exponente beta dado, la ponderación está dada por:

$$w_s(x) = \frac{(n_s p_s(x))^\beta}{\sum_i (n_i p_i(x))^\beta}$$

- La heurística de balance se obtiene con beta = 1

# Heurística de potencia (2)

- En nuestro caso de una sólo muestra, dos estrategias y siguiendo el valor de beta=2 (sugerido por Eric Veach)

$$w_f(x) = \frac{(p_f(x))^2}{(p_f(x))^2 + (p_g(x))^2} \quad w_g(x) = \frac{(p_g(x))^2}{(p_f(x))^2 + (p_g(x))^2}$$

```
inline Float PowerHeuristic(Float fPdf, Float gPdf) {  
    Float f2 = fPdf * fPdf, g2 = gPdf * gPdf;  
    return f2 / (f2 + g2);  
}
```



# Lo que sigue...

- Diferentes tipos de fuentes de luz
  - Muestreo de luz: iluminación directa *explícita*
- Diferentes tipos de materiales
  - Muestreo de BRDF
- Al terminar ambos temas serás capaz de construir un renderizador de iluminación directa con muestreo de importancia múltiple